

熱壓處理 木材의 理學的 性質에 關한 研究^{*1}

朴 英 圭^{*2} · 鄭 大 敦^{*2}

A Study on the Physical and Mechanical Properties of Hot-Compressed Wood^{*1}

Park Young Kyu^{*2} · Chung Dae Kyo^{*2}

Abstract

This study was carried out to improve the physical and mechanical properties of *Populus alba* × *glandulosa* treated by the heat and compression.

The results obtained were as follows.

1. The specific gravity of the wood was conspicuously increased by the increasing of pressing level.
2. The shrinkage of the wood was increased by the increasing of pressing level. The radial shrinkage was 6.41~8.81%, the tangential shrinkage was 8.98~19.81%, and the longitudinal shrinkage was 1.46~1.91%. Comparing to the untreated stock, the rate of increase was 48.7~104.4% in radial direction, 1.7~124.4% in tangential direction and 60.4~109.9% in longitudinal direction, respectively.
3. The rate absorption of 30% compressed stock was similar to that of untreated stock, but the rate of absorption of 40% or more compressed stock was increased highly.
4. The thickness swelling of the wood was not changed in radial direction at pressing level, but was conspicuously increased in tangential direction under the pressing level of 40% and 50%.
5. The heat and compression treatment affected on the mechanical properties of the wood. The longitudinal compressive strength was increased under the pressing level of up to 40%, but was decreased under the pressing level of 50%. The bending strength was not changed under the compression percentage of up to 30%, but was decreased under the pressing level of 30% or more. And, the absorbed energy in impact bending was increased to 128% under the pressing level of up to 30%, but was decreased under the pressing level of 30% or more.

Conclusionly, the mechanical properties of the wood was improved by the heat and compression treatment, but the strength of the wood was decreased under the pressing level of a certain level or more(in this study, pressing level of 30% or more). This was because of the wood deterioration due to the deformation(shrinkage, crack, failure) of wood tissues induced by the heat and compression treatment, the heat analysis of wood components induced by the heating, and the drop of the degree of polymerization.

*1. 接受 10月 20日 Received October 20, 1987

*2. 建國大學校 農科大學 College of Agriculture, Kon-Kuk University, Seoul, Korea.

1. 緒 言

木材는 樹種, 個體, 樹齡, 部位 等에 따라 物理 및 機械的 性質이 달라지는 特性을 가지는 바, 이와같은 木材의 理學的 性質을 改善하고 使用中에 일어날 수 있는 여러가지 短點을 防止할 目的으로 乾燥 및 材質改良 處理가 이루어지고 있다. 우리나라의 木材資源이 不足하여 每年 國內 需要의 80% 以上의 木材를 外國으로 부터 導入 充當하고 있는 實情이다. 더우기 國內 林產資源은 大部分 幼令林으로 構成되어 있어 不足한 木材資源의 早速한 造成과 今後의 莫大한 木材需要量을 充當하기 為하여 速成 短伐期 樹種의 大量增植 및 그 利用은 물론 現在까지 低利用 또는 未utilization 狀態의 木材資源活用이 積極的으로 推進되어야 할 것이다. 이와같은 實情으로 인하여 國家에서는 1960年代 부터 短伐期 速成樹의 育種 및 造林이 대대적으로 이루어졌으며 포푸라類가 主要造林樹種의 하나로서 널리 植栽되어 오늘날 우리나라의 主要 木材資源의 하나로써 登場하기에 이르렀다. 그러나 이들 短伐的 速成樹種은 大部分 未熟材(Juvenile wood)로 構成되어 있기 때문에 比重이 낮고 強度가 弱하며 乾燥시키면 收縮으로 因한 異方性이 크기 때문에 乾燥 缺陷이 많이 일어나 用途上 制約를 받고 있어 이들 木材의 材質改良에 依한 새로운 用途開發이 要請되고 있으며 特히 大徑 良質의 木材供給이 當分간 어려운 現時點에서 이들 小徑·低質材 및 未熟材의 乾燥缺點을 防止하고 乾燥促進과 Warping의 防止 및 材質改良이 時急히 研究되어야 할 것으로 생각된다. 木材를 加熱處理하여 製造하는 加熱處理 木材(staybwood)는 셀룰로오스의 熟化學의 變化에 依해 吸濕性이 減少되어 含收縮率이 커지고 또한 加熱 壓縮處理 木材(staypak)는 含收縮率, 比重, 機械的 性質 等이 改善됨이 알려져 있다. 또한 木材를 原料로 하여 合板, 集成材, 파티클보드 等의 板狀 製品은 그 製造過程에서 熱處理 및 加壓處理를 받게 되는데 이와같이 加熱과 壓縮이 同時に 木材에 作用하게 되면 加熱處理에 의한 材質變化에 比하여 그 處理效果가 크게 달라질 것으로 판단된다. 따라서 本研究에서는 우리나라의 代表的인 造林樹種의 하나인 현사시나무(*Populus alba* × *glandulosa*)의 材質을 改良할 目的으로 木材를 加熱·壓縮處理하였으며, 이러한

處理가 木材의 比重, 收縮率, 吸水率, 機械的 性質에 미치는 影響을 調査하고 木材 組織의 變化를 電子顯微鏡으로 觀察하여 材質改良을 為한 基礎資料를 얻기 為하여 實驗을 實施하였다.

2. 研究史

短伐期 造林樹種의 하나인 포푸라類는 木材需要量의 激增과 木材需給의 不均衡을 打開하기 為하여 政府가 1962年度부터 全國的으로 널리 植栽하여 왔으며 이들 새로운 木材資源의 利用 加工을 為한 技術開發이 時急히 要請되고 있다. 포푸라類는 18世紀 後半부터 栽培한 記錄¹⁾이 있으나 그 利用에 對한 歷史는 매우 矮아 1946年까지만 해도 极히 미미한 程度였으며 그 以後 歐美 先進國에서 포푸라材의 材質 및 利用에 關한 研究가 比較的 활발히 推進되기에 이르렀다. Betts²⁾는 포푸라의 分布, 生長, 供給量 및 材質과 用途 等을 調査·報告하였으며, Kaeiser³⁾, Wilcox⁴⁾ 等은 포푸라類의 纖維長 變異를 調査하였고, Paul⁵⁾과 Sacre⁶⁾는 포푸라材의 生長에 따른 比重의 變化를 研究하였다. Griffisen⁷⁾은 흘란드產 포푸라材의 生長率과 比重 變異를 調査·報告한 바 있고, Sigeo⁸⁾ 等은 日本 北海島產 포푸라類 3樹種의 解剖學的, 物理的, 機械的, 加工的 性質 等을 研究하였다.

우리나라의 境遇 1938년 Yamabayashi가 黃楨나무外 7樹種의 解剖學的 性質을 調査하였고, Lee¹⁰⁾는 은백양外 7樹種의 解剖學的 性質을 報告하였다. Son과 Chung¹¹⁾은 育種을 目的으로 하여 雜種 포푸라類의 纖維長과 比重을 調査하였고, Shin¹²⁾과 Chun¹³⁾은 펄프製造 試驗과 關聯하여 포푸라類의 物理的, 機械的 性質에 關해 研究하였으며, Jung¹⁶⁾은 포푸라類의 纖維長을 위치한 基礎的 材質 等을 報告하였다. 또한 Jo¹⁷⁾ 等은 포푸라材의 材質試驗을 綜合的으로 實施하여 그 結果를 發表하였고, Park¹⁸⁾도 은수원 사사나무의 基礎材質을 調査한 바 있다. 이외에도 포푸라材를 利用한 單板 製造特性¹⁹⁾, 合板²⁰⁾, 集成材²¹⁾ 및 乾燥特性 等에 關聯한 많은 研究가 이루어 졌다. 加熱處理가 木材의 材質에 미치는 影響에 關한 研究에 있어서는 1867년 Allen과 Campbell이 木材의 乾燥에

高溫蒸氣를 利用한 美國 特許 64,398을 획득하면 서 시작되었는바, 日本의 Kadita²⁸⁾ 等은 木材를 150°C 및 200°C의 高溫에서 長時間 加熱하면 木材成分의 热分解가 일어나 重量減少와 함께 機械的 性質이 低下하는 結果를 얻었고 Kitahara²⁹⁾ 等도 木材의 機械的 性質에 미치는 热處理의 影響을 檢討하였다. Sano³⁰⁾ 等은 縱壓縮強度에 있어서 加熱 測度가 增加함에 따라 彈性係數가 直線의 으로 減少됨을 밝혔으며 Arima³¹⁾ 또한 測度의 增加가 creep와 變形增加를 야기시킨다는 研究結果를 얻었고, Salamon³²⁾ 과 Thompson 等도 衝擊強度가 測度의 影響을 特히 받는다고 報告하였다. Schaffer^{35, 36)} 는 加熱 測度와 強度와의 關係에서 引張強度의 境遇 175°C까지는 서서히 減少하다가 175°C以上에서 急激히 減少됨을 發見하였다. Troughton³⁷⁾ 은 热處理함으로서 木材의 加水分解와 酸化分解가 同時に 일어나 強度가 減少됨을 밝혔으며 Gerhards^{38, 39)} 等은 木材의 高溫乾燥時 日常的 乾燥에 比해 引張強度 18%, MOE 10% 低下됨을 報告하였고, Panshin⁴⁰⁾ 等은 測度에 依해 縱壓縮強度, 剪斷強度, MOE, 引張強度의 順으로 影響받는다고 하였다. 木材의 热處理時 일어나는 內部構造의 變化는 結晶領域의 增加⁴¹⁾, 헤미셀룰로오스의 热化學的 變化⁴²⁾ 木材成分의 热分解^{43), 44)} 等으로서 그 結果 吸濕性^{45, 46, 47, 48)}, 收縮, 膨脹^{46, 47, 49)}, 機械的 性質에 變化가 일어나게 된다.

또한 이들의 製造過程에서 热壓縮을 받게 되는데 이러한 壓縮 變形을 同伴한 热處理가 木材의 性質에 미치는 影響에 關聯된 研究는 있으나 치수안정^{56, 57, 58)}에 치우쳐 있다. 合板, 集成材, 파티클보드 等의 木質材料는 製造 工程에서 여러 가지의 热壓處理를 받게 되며 이때 일어난 壓縮 變形이 以以後의 2次 加工工程에서 影響을 주게 되며 特히 製品의 치수안정성에 주는 影響은 매우 크다. 本研究에서는 速成 短伐期 樹種이 가지는 材質上의 問題點을 改良할 目的으로 加熱 壓縮處理를 行하여 이와 같은 處理가 木材의 理學的 性質에 미치는 影響을 檢討함으로서 速成 포푸라類의 材質改良을 為한 基礎資料를 얻기 為하여 實驗을 遂行하였다.

3. 材料 및 方法

3.1 供試 原木

本 實驗에서 供試原木으로 사용한 樹種은 林業試驗場 中部支場의 人工植栽 林分에서 伐採한 胸高直徑 22cm의 15年生 현사시로서 肉眼으로 보아 굽음이 없이 通直한 部位를 實驗用으로 하였다. 伐採된 供試原木의 概要是 Table 1과 같다.

Table 1. Sample tree

Species	Height m	D.B.H cm	Age yr
<i>Populus alba</i> × <i>glandulosa</i>	16	22	15

伐採供試原木의 胸高部位로 부터 두께 3cm의 原板을 採取하여 解剖學的 性質 調查用으로 使用하였고 이 原板을 中心으로 하여 上下部位에서 1m의 길이로 切斷하여 热壓處理用 供試原木으로 사용하였다.

3.2 供試木의 製作

길이 1m로 切斷된 供試原木을 Fig. 1과 같이 가로 6cm, 세로 6cm 길이 50cm로 製材하여 加熱 壓縮에 使用하였다.

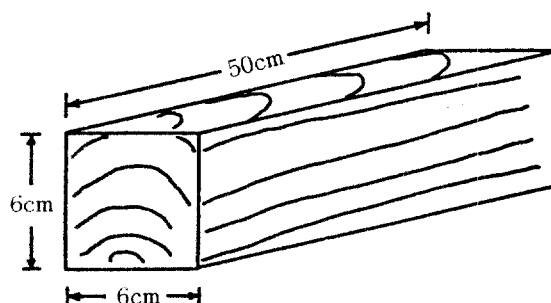


Fig. 1. Test Specimen.

3.3 實驗方法

3.3.1 解剖學的 性質

解剖學的인 性質 가운데 年輪幅과 邊材幅은 解剖學的 性質 調査用 原板을 使用하여 調査하였으며 또한 纖維의 길이와 幅은 성냥개비 크기의 縮木을 採取하여 Schurz Solution으로 纖維를 解離한 다음 Safranin으로 染色하여 Projector(日本

olympus社製)를 사용, Chalk 및 Chattaway의 方法으로 調査하였다.

3.3.2 加熱 壓縮處理

加熱 壓縮處理에 使用한 生材 供試木은 含水率이 98%인 것으로서 木理가 平行하고 弯曲이 없는 無缺點材를 選定하여 Table 2와 같은 條件으로 加熱 壓縮하였다.

Table 2. Conditions of hot pressing

Pressing level (%)	Temperature (°C)	Pressure (kg/cm ²)	Pressing time (min)
0	-	-	-
10	170	30	70
20	170	30	70
30	170	30	70
40	170	30	70
50	170	30	70

熱壓器는 日本 KITAKAWA社製로서 加熱板 크기 40cm×40cm 總壓力 110kg/cm²의 容量을 가진 것으로 試驗을 行하였으며 热壓時 木材內 壓縮空氣의 爆發을 막기 為하여 壓力を 加하기 시작하여 수초만에 最大壓力에 이르도록 하였으며 最大 壓力에서 5분동안 유지한 後 解壓하여 5分이 경과한 후 다시 热壓하여 같은 方法으로 3~4回 壓力を 解除해 가면서 热壓을 遂行하였다. 또한 热壓이 끝난 試片은 Spring back을 막기 위하여 Cold Press에 30kg/cm²의 壓力으로 24時間 동안 冷壓하였으며 이때 热壓方向은 Fig. 2와 같다.

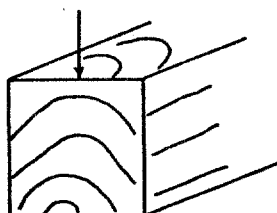


Fig. 2. Cross-section of specimen showing pressing direction.

3.3.3 物理的 性質

比重은 韓國 木材工業 規格 KS F2202 木材의 比重測定方法에 依해 含水率은 全乾法에 依據 測定하였다. 收縮率 試驗은 供試片의 初期含水率이 相異하였기 때문에 3×3×0.5cm로 製作한 試驗片

을 48時間 물에 沈漬시킨 後 칫수를 測定하고 24時間 동안 105±3°C로 調節된 恒溫 乾燥器에서 乾燥시켜 KS F 2203 木材의 收縮率 試驗方法에 依하여 收縮率을 測定하였다.

$$\text{收縮率} (\%) = \frac{l_g - l_0}{l_g} \times 100$$

l_g : 乾燥前 칫수(mm)

l_0 : 乾燥後 칫수(mm)

吸收率 試驗도 供試片의 初期含水率을 調節하기 為하여 거의 同一한 含水率이 되도록 氣乾시킨 後 常溫에서 24時間 물에 沈漬하여 吸水率, 吸水量 및 칫수 變化를 다음 式에 依하여 測定하였다.

$$\text{吸水率} (\%) = \frac{W_g - W_0}{W_0} \times 100$$

W_g : 吸水後 무게

W_0 : 乾燥後 무게

$$\text{吸水量(g/cm}^2) = \frac{W_g - W_0}{A}$$

A : 試片總面積

$$\text{膨潤率} (\%) = \frac{t_g - t_0}{t_0} \times 100$$

t_g : 吸水後 칫수

t_0 : 乾燥後 칫수

3.3.4 機械的 性質

各 供試片의 含水率은 恒溫恒濕室(溫度 20°C, 關係濕度 60%)에서 平衡 含水率 約 12%가 되도록 調濕處理하였으며, 機械的 性質은 다음에서 記述하는 바와 같이 韓國 工業規格에 依據 萬能材料試驗器 日本 Shimadzu社製 Autograph IS-10T를 使用하여 測定하였다.

(1) 縱壓縮強度 : KS F 2206의 木材의 壓縮強度 試驗方法에 依據 測定하였는 바 2×2×4cm의 試驗片에 分當 100kg/cm²의 荷重 速度로 荷重을 加하고 最大荷重을 測定하여 다음 式에 依해 縱壓縮強度를 求하였다.

$$\text{縱壓縮強度} (\text{kg/cm}^2) = \frac{P}{A}$$

P : 最大荷重(kg)

A : 斷面積(cm²)

(2) 島強度 : KS F 2208의 木材의 島強度 試驗

方法에 따라 测定하였는 바, $2 \times 2 \times 32\text{cm}$ 의 試驗片 中央에 分當 150kg/cm^2 의 荷重速度로 集中荷重을 加하고 다음 式에 依하여 휨强度를 测定하였다.

$$\text{휨强度 } (\text{kg/cm}^2) = \frac{3pl}{2bh^2}$$

p : 最大荷重(kg)

l : Span의 길이(cm)

b : 試驗片의 幅(cm)

h : 試驗片의 두께(cm)

(3) 衝擊 휨吸收에너지 : KS F 2201의 方法에 依據 测定하였는 바 $2 \times 2 \times 30\text{cm}$ 의 試驗片을 使用, Span을 24cm 로 하고 $10\text{kg} \cdot \text{m}$ 의 衝擊에너지 를 가진 衝擊 힘으로 Span中央에 衝擊을 주어 다음 式에 依하여 求하였다.

$$\text{衝擊 휨吸收에너지 } (\text{kg} \cdot \text{m}/\text{cm}^2) = \frac{P}{A}$$

P : 衝擊에너지量(kg · m)

A : 斷面積(cm^2)

3.3.5 木材組織의 電子顯微鏡 觀察 : 加熱 壓縮處理 前後의 組織의 形態의 變化를 살펴기 為하여 各 試驗片에 對한 電子顯微鏡 觀察을 遂行하였는 바, 먼저 試片을 脫水處理하고 乾燥器에서 充分히 말린 다음 真空데시케이터에 넣어 하루밤을 乾燥시켰다. 充分히 乾燥된 試料를 Sass의 方法⁵⁹⁾으로 sectioning을 行하고 알미늄 試料臺에 兩面 接着테이프를 使用하여 固定시키고 真空增着器(Ion Coater, Eico社製 IB-5)를 使用하여 200A° 두께로 白金增着을 하여 走査電子顯微鏡(日本 Akaishi社製 Model SS-130)으로 觀察하였다.

Table 3. Anatomical properties of *Populus alba* \times *glandulosa*

Mean width of annual ring mm	Width of sapwood mm	Percent of sapwood %	Fiber length mm	Fiber width μ	Ratio of fiber length and width
10.4	7.2	91.0	1.16	28	41

4. 結果 및 考察

4.1 供試材의 解剖學的 性質

Table 3은 供試材의 解剖學的 性質을 나타낸 것으로서 대체적으로 보아 다른 포푸라類¹⁷⁾와 大同小異한 結果를 보여 주었다. 多少 差異가 나는 點을 指摘한다면 邊材幅이 7.2mm (다른 포푸라類의 邊材幅 $3.9 \sim 4.5\text{mm}$)로서 매우 넓고 邊材率 또한 91.0% (다른 포푸라類 $58 \sim 65\%$)로서 높았다. 그러나 平均 年輪幅은 10.4mm 로서 이태리포푸라의 生長에 거의 비슷한 수준이었다.

4.2 加熱 壓縮이 木材의 物理的 性質에 미치는 影響

4.2.1 比重

加熱 壓縮의 程度에 따라 生材, 氣乾 및 全乾比重의 變化를 Table 4 및 Fig. 3에 나타냈다. 이 表와 그림에서 보는 바와 같이 壓縮率이 높아짐에 따

Table 4. Specific gravity

Pressing level %	Specific gravity		
	Green	Air-dried	Oven-dried
0	0.66	0.46	0.42
10	0.81	0.64	0.50
20	0.82	0.65	0.53
30	0.91	0.67	0.55
40	0.92	0.68	0.62
50	0.94	0.70	0.66

라顯著한比重의增加를 보여 주었으며 生材와 全乾比重에 있어서 30%의 壓縮率까지는 比重增加率이 거의一致하였으나 壓縮率 40%以上에서는 全乾比重의增加率이 훨씬 높았다.

氣乾比重에 있어서는 10% 壓縮時 다른比重에比하여 매우 높은 39.1%의增加率을 나타냈으며 그以後는 거의 완만한增加率을 보여 주었다. 그리고 全乾比重의境遇 낮은 壓縮率에서는增加率이 다른比重의增加率보다 낮거나 거의同一하였다. 40%以上의 壓縮率에서는生材 및 氣乾比重을 능가하였다. 이와같은比重增加의原因是高溫加熱로因한木材의塑性運動의增加와 이에이어지는壓縮으로因하여木材組織의變形이 일어나 치밀하게 되었기 때문이며 이事實은電子顯微鏡觀察에依해서도確認되었다. Photo 1은無處理素材의橫斷面寫眞으로서導管을비롯한모든組織要素들이原形그대로 잘保存되어 있는데比하여 Photo 2(壓縮率 10%) Photo 3(壓縮率 20%), Photo 4(壓縮率 30%), Photo 5(壓縮率 40%), Photo 6(壓縮率 50%)에서보는바와같이 壓縮率이增加할수록導管等의組織이찌그러졌음을明白하게 볼수 있다.

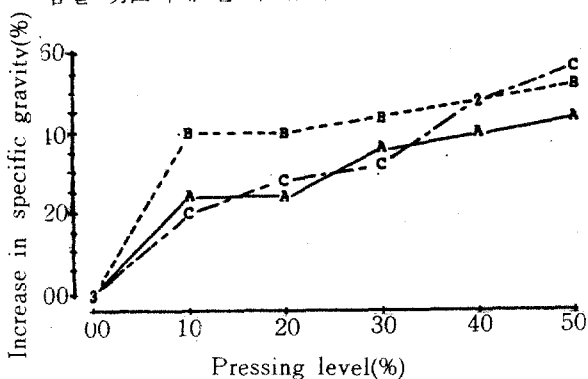


Fig. 3. Effect of pressing level on specific gravity.

A: Green specific gravity

B: Air-dried specific gravity

C: Oven-dried specific gravity

특히 壓縮率 50%의境遇導管과木纖維等모든組織이收缩되어細胞內腔이거의消失되었다. 이와같은木材纖維의收缩은木材構成成分의熱軟化와깊은關係가있으며高含水率狀態에서의리그닌의熱軟化溫度는70~116°C이고헤미셀룰로오스는20~56°C로알려지고있는바木材가加熱되면셀룰로오스,헤미셀룰로오스및리그닌의mat-

rix가glass狀態로부터고무狀態로變하게되며이와같은狀態에있는木材에外力이加해지면microfibril이탄성적으로變形하게되며fibril간을메우고있던리그닌및헤미셀룰로오스의分子間に水素結合이形成되어microfibril은탄성변형인狀態로固定되는것으로생각된다.

4.2.2 收縮率

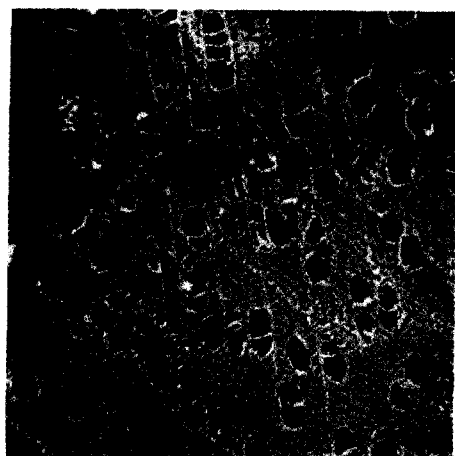
Table 5는加熱壓縮處理에따른收縮率의變化를보여주는것으로서壓縮에依해收縮率이徑斷方向의境遇 6.41~8.81%, 觸斷方向에서는 8.98~19.81%, 纖維方向에서는 1.46~1.91%로서素材에比해徑斷方向 48.7~104.4%, 觸斷方向 1.7~124.4%, 纖維方向 60.4~109.9%의높은增加率을보여주었다.收縮率은一般的으로比重이크면커지는바,加熱壓縮處理한木材의境遇도同一한경향을보여주었으며壓縮率이높은境遇의높은收縮率은比重에依한因子以外에組織의무리한變形,收縮,파괴로因한모든變化因子들이複合的으로作用하여일어난것으로생각된다.

Table 5. Shrinkage from green to oven dry of hot-compressed specimens

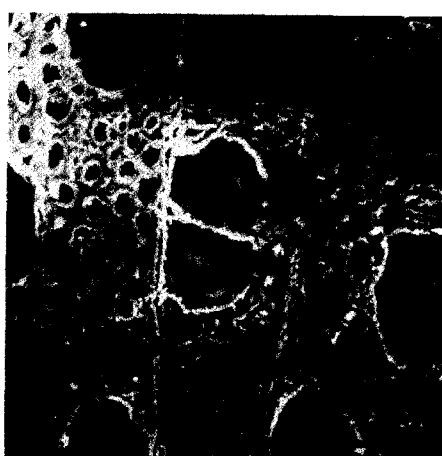
Pressing level %	Shrinkage(%)		
	Radial	Tangential	Longitu- dinal
0	4.31	8.83	0.91
10	6.41	8.98	1.46
20	6.85	8.03	1.55
30	7.32	9.18	1.70
40	8.46	12.05	1.79
50	8.81	19.81	1.91

4.2.3 吸水率

供試片을氣乾시켜含水率을거의同一하게調節한後24時間물에沈漬한다음吸水率을調查한結果는Table 6과같다. Fig. 4에서보는바와같이壓縮率30%까지는比重이增加하더라도含水量에큰變化가없었으나,壓縮率이30%지나면서吸水率이增加하기시작하여40%의境遇43.3%, 50%의境遇는48.2%로서顯著한增加를보여주었다.壓縮率30%以下에서의吸水率이素材의그것보다多少낮거나큰變化가없는理由는比重의增加原因에서도考察한바와같이加熱로因해木



A

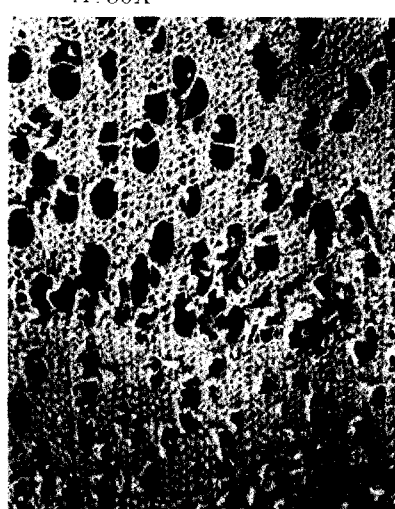


B

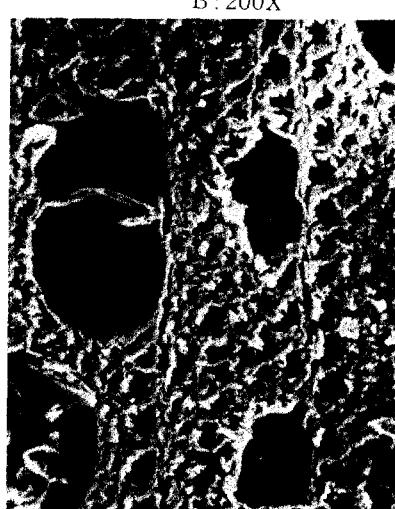
Photo 1. Scanning electron micrographs of cross section of untreated wood.

A : 50X

B : 200X



A

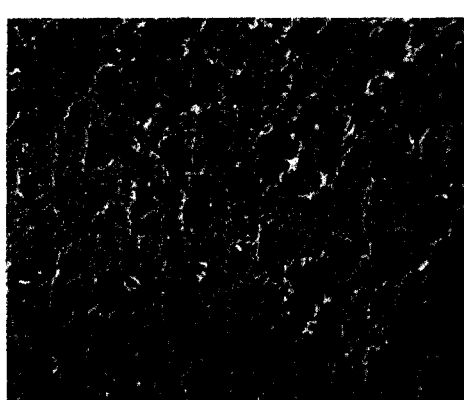


B

Photo 2. S.E.M. of cross section of 10% compressed wood

A : 50X

B : 200X



A

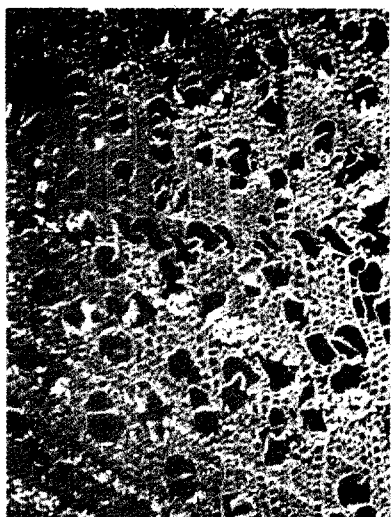


B

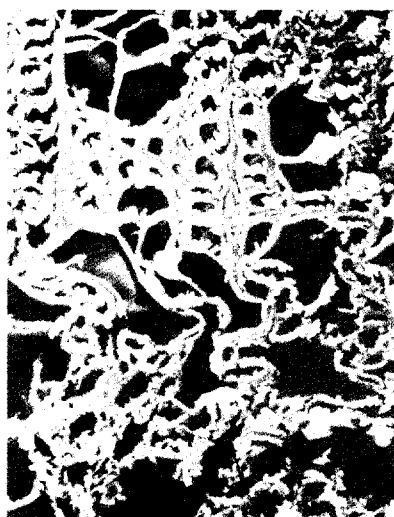
Photo 3. S.E.M. of cross section of 20% compressed wood.

A : 50X

B : 200X



A



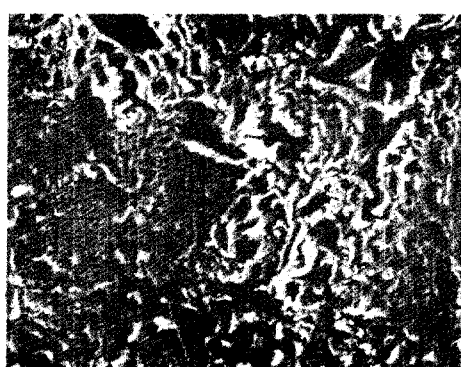
B

Photo 4 SEM of cross section of 30% compressed wood

A : 50X



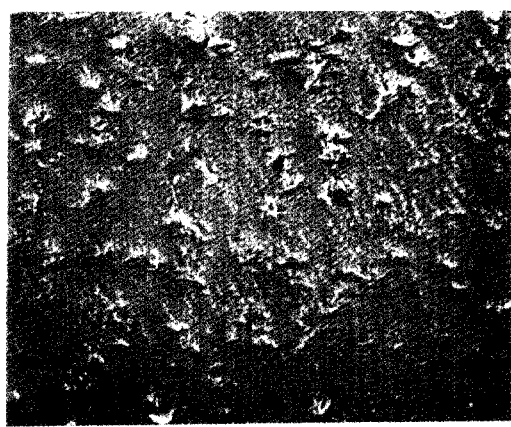
A



B

Photo 5. S.E.M. of cross section of 40% compressed wood.

A:50X



A



B

Photo 6. S.E.M. of cross section of 50% compressed wood.

A : 50X

Table 6. Results of water absorption of hot-compressed specimens

Pressing level %	Absorption rate %	Absorption g/cm ²
0	38.2	0.091
10	36.9	0.085
20	37.6	0.087
30	38.2	0.097
40	43.3	0.101
50	48.2	0.179

Table 7. Dimensional changes in different pressing conditions of hot-compressed specimens

Pressing level %	Swelling(%)	
	Radial	Tangential
0	4.26	8.44
10	6.78	8.81
20	7.47	8.79
30	7.94	10.11
40	9.25	14.57
50	9.67	23.45

材의 塑性遊動이 增大된 狀態에서 壓縮이 作用하여 組織이 窄그려져 치밀하게 되어 細胞內腔의 容積이 減少하였기 때문에 그만큼 물이 들어갈 內部空間이 줄어 들었기 때문에 化學的으로는 高溫에 依하여 塑水和가 일어났을 것으로도 생각된다. 또한 壓縮率이 30%를 지나 壓縮의 程度가 높아지

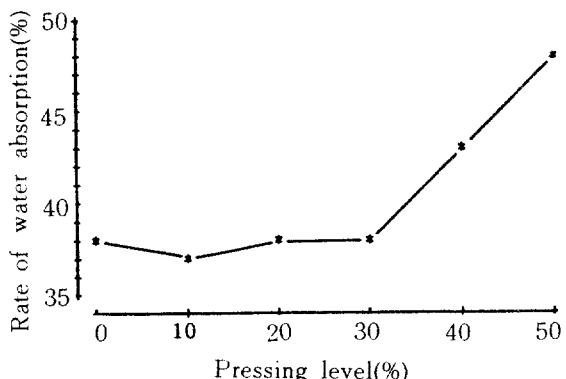


Fig. 4. Effect of pressing levels on water absorption.

면 組織의 치밀화로 比重이 增加하였다고 하더라도 塑性變形이 異괴 限界를 지나게 됨에 따라 組織의 異괴가 일어나게 된다. Photo 5 및 Photo 6에서 構成要素들의 收縮된 모습을 Photo 1과 比較하였을 때 分明하게 觀察할 수 있다. 특히 Photo 6의 境遇 導管이나 木纖維 細胞의 內腔이 보이지 않을 程度로 組織이 窄그려져 있으며 어떤 部分에서는 組織의 異괴 및 鈍角이 觀察되고 있다. 이러한 現象들이 木材의 吸水率을 增加시킨 것으로 생각된다. Fig. 5 및 Table 7은 加熱 壓縮이 두께 膨潤率에 미치는 影響을 나타내는 것으로서 徑斷面의 境遇 素材에 比하여 加熱 壓縮으로 膨潤率이 小幅으로 增加하였고 壓縮率의 增加에 따른 膨潤率에 큰 差異가 없이 거의 一定(6.78~9.67%)하였다. 이에 對하여 觸斷面의 境遇는 壓縮率 20%까지는 素材나 거의 同一한 値을 보였으나 30%가 지나면서 膨潤率의 增加를 보여 주었다. 이와 같은 結果는 Fig. 4의 吸水量과의 比較에서도 알 수 있는 바와 같이 壓縮率이 增加하여 30%以上의 水準이 되면 電子顯微鏡 寫眞으로 觀察할 수 있는 바와 같이 組織의 收縮이 일어나 外觀上으로 치밀하게 보이나 組織의 內部에서는 塑性變形이 異괴 限界以上으로 增大되어 木材組織에 결함이 일어나 고유의 構成要素가 가지는 空間에 吸收되는 물의 含量보다 결함 部位에 吸收되는 물이 많아서 結果의 으로 組織의 膨潤率이 增加되는 것으로 생각된다.

Photo 7과 Photo 8은 0%(素材), 壓縮率 30%, 50%, 각각의 徑斷面 및 觸斷面을 나타낸 寫眞으로서 徑斷方向의 境遇 素材(Photo 7. A)서의 組織들이 原形 그대로 觀察되는데 比하여 壓縮率 30% (Photo 7. B) 및 壓縮率 50% (Photo 7. C)의 境遇

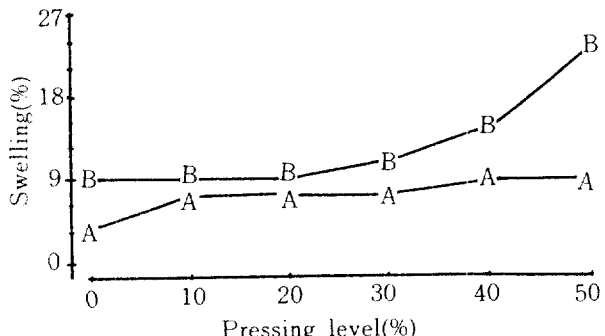


Fig. 5. Dimensional changes in different pressing levels.

A : Radial

B : Tangential

는 壓縮率이 높아감에 따라 導管, 木纖維의 內徑이 점차 減少됨을 觀察할 수 있었다. 觸斷方向의 境遇는 經斷方向에서 볼 수 있었던 特徵과는 좀 달리 木材組織의 壓縮이 經斷方向으로 이루어 졌기 때문에 壓縮率이 增加함에 따라 構成要素들의 內徑이 점차 커지는 경향을 보여 주고 있으며 특히 30% 收縮率(Photo 8. B)에서는 導管의 內徑이 素材(Photo 8.A)에 比해 約2倍 程度 늘어났음을 볼 수 있고 壓縮率 50%(Photo 8. C)에서는 細胞들이 찌그려져 內徑이 크게 늘어났을 뿐만 아니라 組織들도 많이 파괴되었음을 잘 觀察할 수 있다. 이러한 電子顯微鏡 觀察은 木材組織이 어떤 限界以上에서의 무리한 壓縮에 依해 파괴가 일어났다는 直接的인 證據이며 이와같은 現象은 觸斷方向에서 더욱 分明하게 나타났는데 이것은前述한 바와 같이 木材의 壓縮을 經斷方向으로 하였기 때문에 體線柔細胞 및 年輪界에 存在하는 春·秋材 部位의 파괴가 잘 觀察되었기 때문으로 생각된다.

影響을 보여주는 것으로서 縱壓縮强度의 境遇 40% 壓縮率까지는 強度가 增加하여 40%에서 最大값을 보여 주었고 50% 壓縮率에서는 오히려 減少하였다. 穎強度에 있어서는 壓縮率 30% 까지 거의 비슷하였으며 30%以後부터 強度는 減少하였다. 衝擊 穎吸收에너지의 境遇 또한 壓縮率 30% 까지 顯著한 強度增加를 보여 30%에서 素材強度의 128%에 達하였다.

한편 壓縮率 50%에 있어서 縱壓縮强度는 素材보다 높았으나 穎強度 및 衝擊 穎吸收에너지에 있어서는 素材의 強度보다 낮은 結果를 주었으며 後者의 強度減少가 뚜렷하였다. Fig. 7은 加熱 壓縮에 따른 比重과 機械的 性質이 增加한다는一般的인 原則과 같이 比重이 0.67에 이르기 까지는 比重이 增加함에 따라 모든 強度가 向上되었으나 이 比重의 範圍를 지나면서 急激한 強度의 減少를 나타냈다. 특히 穎強度와 衝擊吸收에너지의 減少가 顯著하였다.

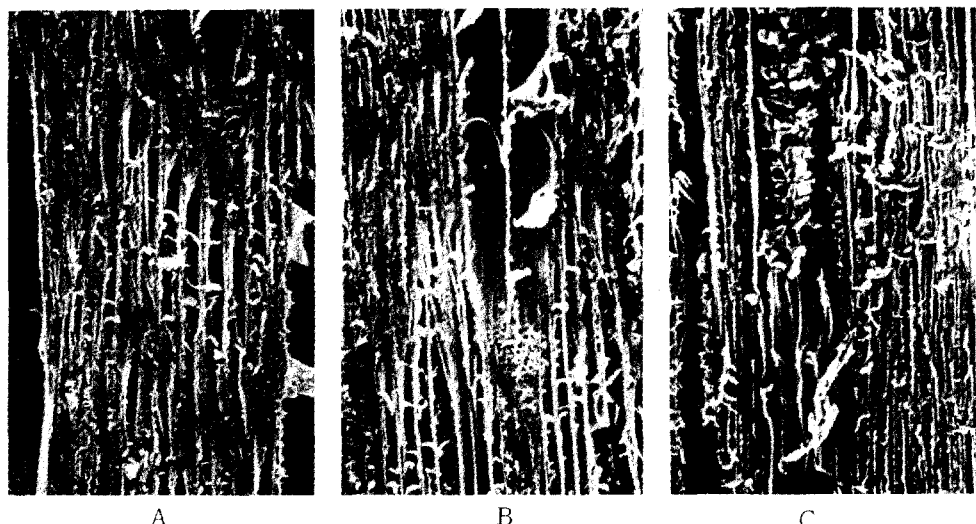


Photo 7. S.E.M.(100X) of radial faces.

A : Untreated

B : 30% Compressed

C : 50% Compressed

4.3 加熱 壓縮이 機械的 性質에 미치는 影響

木材를 加熱 혹은 热板乾燥하였을 때 機械的 性質이 變化한다는 事實에 對해서는 많은 研究^{26, 27, 29, 30, 31, 32, 33, 35, 36, 37, 38, 39)}가 있으나 加熱 壓縮이 同時に 行해졌을 境遇의 機械的 性質의 變化에 對해서는 그다지 많은 研究가 없다. Table 8 및 Fig. 6은 壓縮率이 木材의 機械的 性質에 미치는

이와같은 比重이 增加하였는데도 強度가 減少하는 原因은 加熱 壓縮으로 因하여 생긴 壓縮set가 木材組織의 탄성限界를 지나 무리한 變形을 招來하여 組織의 파괴가 일어났기 때문인 것으로 생각되며 이러한 組織의 内部的 缺陷이 壓縮强度보다는 穎強度와 衝擊 穎吸收에너지에서 더욱 예민하게 나타났다. 热處理와 機械的 性質과 關聯하여 例를 들면 穎強度, 穎탄성계수⁶⁴⁾, 衝擊吸收에너지

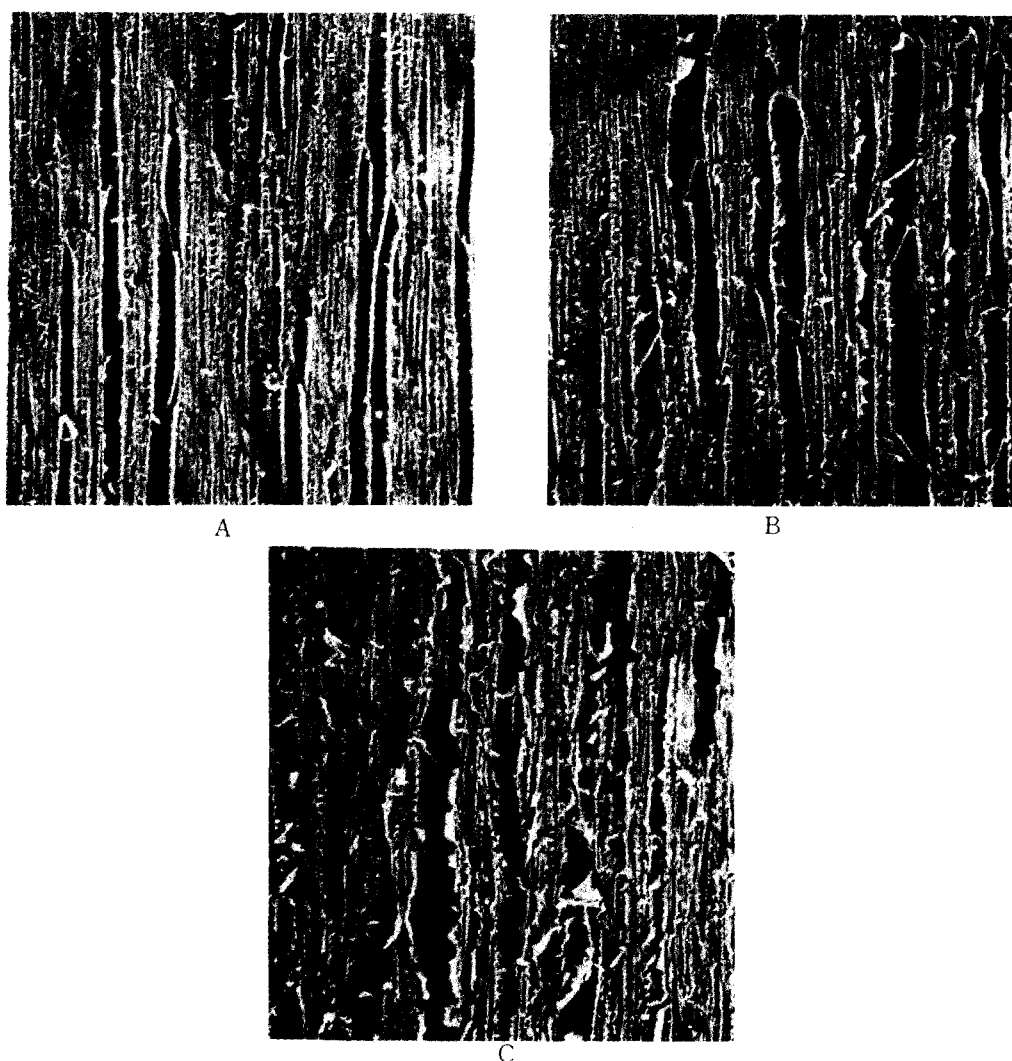


Photo 8. S.E.M. (50X) of tangential faces.

A : Untreated B : 30% Compressed C : 50% Compressed

Table 8. Mechanical properties of hot-compressed specimens

Pressing level %	Compressive strength kg/cm ²	Bending strength kg/cm ²	Impact bending absorbed energy kg·m/cm ²
0	353	657	1.159
10	532	678	1.289
20	571	684	1.437
30	618	718	1.491
40	636	653	1.355
50	547	571	1.086

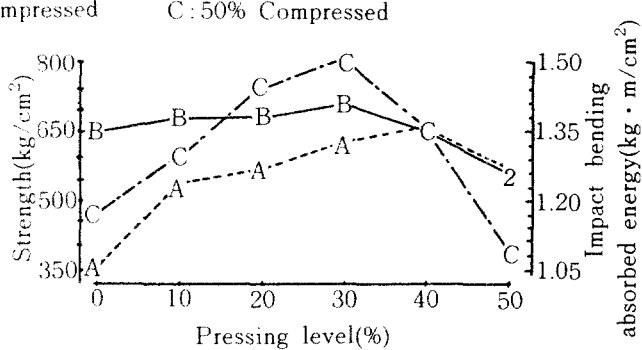


Fig. 6. Relation between pressing level and mechanical properties.

A : Compressive strength

B : Bending strength

C : Absorbed energy in impact bending

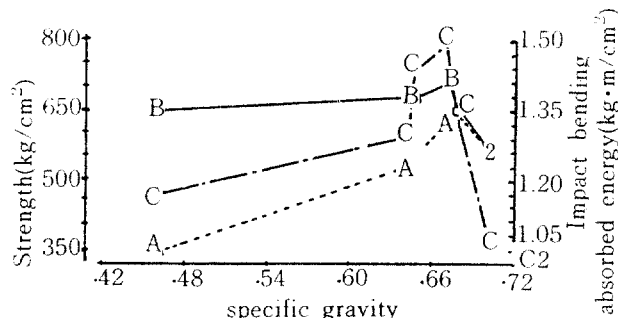


Fig. 7. Relation between specific gravity and mechanical properties.

A: Compressive strength

B: Bending strength

C: Absorbed energy in impact bending

²⁹⁾, 휨과파계수^{29, 56, 65)}等에 관한研究가 있는 바, 熱處理 받은木材의 機械的性質은 減少되는 것으로 報告된 바 있다. 本研究의 境遇 壓縮率 30%까지는 모든 機械的性質의 顯著한 增加를 나타내어材質改良効果를 보여 주고 있으며 이 水準以上으로 壓縮하면 實사比重이 높아진다 하더라도 機械的性質이 낮아진다. Suematsu⁵³⁾等은 热壓縮木材의 動的粘彈性에 關한研究에서 動的彈性率이比重의 增加와 함께 直線의으로 增加하다가 一定한 痘에 達한 後 減少하는 結果를 얻었으며 壓縮時의 溫度가 主要한 因子로서 關與함을 報告하였다. 本研究의 結果도 이들과 比較하여 보았을 때 同一한 경향을 보여 주었다. 強度가 減少되는 또 하나의 理由는 Kitahara²⁹⁾等이 報告한 바와같이 長時間高溫處理로 因하여木材成分의 热分解 및 重合度의 低下가 일어나기 때문으로 생각되고 있다. 热分解에 關해서는 Kollmann⁴³⁾等에 依하면 헤미셀룰로오스가 100°C附近에서 重合度가 낮아지기 시작하고 170°C에서 急激히 分解가 일어 난다고 하였으며 셀룰로오스의 境遇도 150°C로 부터 分解가 시작된다고 하였다. 이와같은 化學的, 物理的變化가木材內部에서 일어나 이러한 變化가木材自體의 热化를 일으키는 것으로 생각된다.

5. 摘 要

우리나라의 代表的인 造林樹種의 하나인 현사시나무(*Populus alba* × *glandulosa*)를 供試材로 하여 加熱, 加壓處理가木材의 物理的, 機械的性質에 미치는 影響을 調査하여 材質改良을 為한 基礎資料로 活用코자 實驗을 遂行하였는 바 다음과 같은

結論을 얻었다.

- 比重은 壓縮率이 增加함에 따라 顯著히 增加하였다.
- 收縮率은 壓縮率이 增加함에 따라 顯著히 增加하여 素材와 比較하여 經斷方向은 約 1.5~2倍, 觸斷方向은 約 1~2.2倍, 纖維方向은 約 1.6~2.1倍 이었다.
- 吸收率은 壓縮率 30%까지는 別로 增加하지 않았으나 壓縮率 40%以上에서는 素材에 比해 높은 增加率을 나타내었다.
- 두께膨潤率은 壓縮率이 增加함에 따라 經斷面에서는 큰 差異가 없었으나 觸斷面의 境遇에는 顯著하게 增加하였다(特히 壓縮率 40%, 50%).
- 縱壓縮強度는 壓縮率 40%까지는 增加하였으나 壓縮率 50%에서는 오히려 減少하였고 휨強度는 壓縮率 30%까지는 素材에 比해 큰 變化가 없었으나 그 以上的 壓縮率에서 減少하였으며 衝擊 휨吸收에너지is 壓縮率 30%까지는 增加하여 素材의 128%에 達하였으나 壓縮率 30%以上에서는 다시 減少하였다. 結論的으로 加熱·壓縮處理가木材의 機械的性質을 向上시키지만 어느 一定 壓縮水準(本 實驗의 境遇 壓縮率 30%)을 지나면 오히려 強度가 減少된다. 이와같은 現象은 加熱·壓縮으로 因한木材組織의 變形(收縮, 균열 및 파괴)加熱에 依한木材成分의 热分解, 重合度의 低下等이木材의 热化를 招來한 것으로 생각된다.

參 考 文 獻

- Anon, 1958, FAO Forest and Forestry Products Studies, No. 12, Rome
- Betts, H.S., 1945, Aspen, American Woods, 664, 391-45, 664, 185-45, 669979-46
- Kaeiser, M., 1956, U.S. For. Prod. Lab. Rept. No. 2047:6
- Wilcox, J.R., and R. E. Farmer, 1968, Tappi 51(12): 575
- Paul, B.H. 1956, U.S. For. Prod. Lab. Rept. No. 2060:17 Paul, B.H. 1963, U.S. For. Prod. Lab., For. Service, Tech. Bull. 1288:97
- Sacra E., 1963, Relation between Physical

- and mechanical Properties and annual ring thickness of polpar wood. Proceedings of IUFRO meeting, Sec. 41, Madison, U.S.A.
- 7) Griffisen, K., 1958. Holzforschung 11: 200-201
 - 8) Sigeo, O., H. Hirokazu, and K. Nobutaka, 1965, Japan Hokkaido For. Res. Ins. 14, 160
 - 9) Yamabayashi, No., 1938, Identification of Korean woods Korean For. Exper. Sta. Res. Rept. No. 27, 206 Yamabayashi, No., 1957, The anatomy of Wood. Japan Morikita Publ. Co.
 - 10) Lee, P.W., 1961, A study on the anatomical properties of Populus woods grown in Korea.
 - 11) Son, D.S., and S.B. Chung, 1970, Institute of Forest Genetics, Res. Rept. No. 8 Son, D.S., and S.B. Chung, 1972, Inst. For. Gen. No. 9
 - 12) Shin, D.S., W.Y. Ahn, B.M. Jo, and C.S. Shin. Res. Rept. of Ministry of Science and Technology 71-98.
 - 13) Chun, P.C., M.C. Lee, and B.M. Jo, 1972, Study on the pulp manufacturing form Italian polpar wood. Rept. Nat 1. Academy of Sci. Vol XI.
 - 14) 조 재명 등, 1972, 임업시험장 연구보고서 19 : 91-106.
 - 15) 조 재명 등, 1974, 목재공학 1(2) : 25-31.
 - 16) Jung, H.S., H.Y. Park, J.M. Jo, and C.S. Shim, 1972, For. Res. Inst. Res. Rept. 19
 - 17) Jo, J.M., S.K. Kang, Y.D. Lee, H.S. Jung, J.M. Ahn, and C.S. Shim, 1974, Res. Rept. of For. Res. Inst. 21: 187-206.
 - 18) Park, S.J., and J.M. Jo, 1977, Res. Rept. of For. Res. Inst. 24: 607-626
 - 19) Jung, D.J., C.T. Lee, Y.D. Lee, and J.M. Jo, 1985, Res. Rept. of For. Res. Inst. 32
 - 20) Lee, P.W., 1978, J. For. Prod. Techn. 2: 24: 32
 - 21) Kim, S.C., 1978, J. Wood Sci, 2(1): 47-53
 - 22) 이 필우, 1977, 한국 임학회지 36 : 26-32.
 - 23) 정 회석, 1978, 서울대 연습림 보고서 14 : 48 -55.
 - 24) 정 회석, 1978, 임산가공 2 : 18-23.
 - 25) 정 회석, 1978, 한국 임학회지 37 : 75-82
 - 26) 소 원택, 정 회석, 1980, 목재공학 8(1) : 13-21
 - 27) 장 상식, 1983, 열기, 열판, 자비 및 증기 처리가 목재의 기계적 성질에 미치는 영향, 서울 대학교 석사학위 논문
 - 28) Kadita, S., and K. Nakado, 1949. J. Japan For. Soc. 30(10): 251.
 - 29) Kitahara, K., and M. Chuganji, 1951, Ibid. 33: 414-419.
 - 30) Sano, M., 1961, Mokuzai gakkaishi 7(4): 147-150
 - 31) Arima, H., 1967, Mokuzai gakkaishi 13(2): 37-40
 - 32) Salamon, M., 1969, For. Prod. J. 15(3): 27-34
 - 33) Thompson, W.S., 1969, For. Prod. J. 19(1): 21-28
 - 34) _____, 1969, For. Prod. J. 19(2): 37-43
 - 35) Schaffer, E.L., 1973, J. of Testing and Eva. 1(4): 319-329
 - 36) _____, 1978, Temperature-time dependency of longitudinal mechanical behavior of drying Douglas-fir. pp. 324-335 in General Constitutive Relations for wood and Wood-based materials, Syracus Univ., U.S.A
 - 37) Troughton, G.E., and L. R. Lozon, 1974, Wood Science 7(2): 116-121
 - 38) Gerhards, C.C., 1968, For. Prod. J. 18(11): 27-35
 - 39) _____, 1979, For. Prod. J. 29(3): 55-57
 - 40) Panshin, A.J., and C.d. Zeeuw, 1980, Textbook of Wood Technology, 4th ed. Mc Graw-Hill Book Co., N.Y., U.S.A.
 - 41) Clark, G.L., and J.A. Howson, 1946, I.E.C. 38, 1259
 - 42) Sado, T., 1959, Res. Rept. of Kyoto Furitsu Univ. No. 11, 114
 - 43) Kollmann, F., 1960, Holz als Roh-u. Werkstoff., 18: 193
 - 44) 越智正市, 山崎潤三, 角容仙之助, 1937, 工化 40: 455
 - 45) 渡邊治人, 1939, 日本林學會誌 21: 38

- 46) 梶田茂, 中戸莞二, 1949, 日本林學會誌 31 : 249
- 47) Seborg, S.M., H. Tarkow, and A. J. Stamm, 1953, J. For Prod. Res. Soc., 3:59
- 48) Kollmann, F., and A. Schneider, 1963, Holz als Roh-u. Werkstoff., 21:77
- 49) Saito, F., 1973, Mokuzai gakkaishi 19(5):221-226
- 50) Kadita, S., T. Yamada, M. Suzuki, and K. Komatsu, 1961, Mokuzai gakkaishi 7(1):34-38
- 51) Suzuki, M., and K. Nakato, 1963, Mokuzai gakkaishi 9(6):211-216
- 52) Fujitani, M., 1968, Mokuzai gakkaishi 14(4):208-213
- 53) Suematsu, A., N. Hirai, and F. Saito, 1980, Mokuzai gakkaishi 26(9):581-586
- 54) _____, 1982, Properties of hot pressed wood. Part II. Proceedings of the 32nd Annual Meeting of Japan Wood Res. Soc., pp. 172, Fukuoka, Japan
- 55) Kohara, J. and H. Okamoto, 1955, Mokuzai gakkaishi 2:80-84
- 56) Stamm, A.J., H.K. Burr, and A.A. Kline, 1946, I.E.C. 38:630
- 57) Stamm, A.J., and L.A. Hansen, 1937, I.E.C. 29:831
- 58) Turkia, K., and J. Hygreen, 1968, For. Prod. J. 18(6):43
- 59) Sass, J.E., 1958, Botanical microtechnique. 3rd ed. pp. 288, The Iowa State Univ., Iowa, U.S.A
- 60) Goring, D.A.I., 1963, Pulp Paper Mag. Can. 64, T517-527
- 61) Takamura, N., 1968, Mokuzai gakkaishi 14:75-79
- 62) Abe, F., 1968, Mokuzai gakkaishi 14(2):98-104
- 63) Mataki, Y., and M. Ota, Mokuzai gakkaishi, 13(7):331-335(1967), 14(2):80-85(1968), 14(2):86-90
- 64) 福山方次郎, 梶田茂, 1956, 日本林學會 學術講演集
- 65) Stamm, A.J., 1956, I.E.C. 48-1:413